

パラメータ数 θ はモデルの x 方向および y 方向の波の個数を M, N とすれば: $\theta = 2 \times (M+1)(N+1) - 2$ (3)

次に与えられた波の個数について、最小二乗法で求めた α_{mn}, β_{mn} による $\hat{Y}(x, y)$ の推定値 $\hat{Y}(x, y)$ は、

$$\hat{Y}(x, y) = \sum_{m=0, n=0}^{M, N} [\alpha_{mn} \sin(2\pi mx/\ell_x + 2\pi ny/\ell_y) + \beta_{mn} \cos(2\pi mx/\ell_x + 2\pi ny/\ell_y)] \quad (4)$$

$$\text{また分散は } \sigma^2 = \sum_{i=1}^K [(Y(x_i, y_i) - \hat{Y}(x_i, y_i))^2] / (K-1) \quad (5)$$

3. 適応例: 図-1に室見川流域の地質概要を示す。

赤池は式(2)によるAICの最小に対するパラメータの個数が最適な個数であるとのべている。以下これに従って検討してみよう。番号は実測地点である。また表-1には21箇所の実測値を示す。この領域では沖積層が主たる帶水層で、基盤標高が海へ向かって漸次増加していること、東西方向には花崗岩や洪積層が露頭していることから透水量係数は海に向かっては増加する傾向があること、東西方向には比較的変動が大きいことが推測される。図-3にほぼ x 方向および y 方向に並んだ実測点のデータ Y を●印で示す。これを見ると前述の推測のように y 方向に比べて x 方向には比較的変化が大きいことが分かる。いま基本波長を $\ell_x = 12 \text{ km}, \ell_y = 10 \text{ km}$ とする。次に、式(3)に示すパラメータ数がデータ個数 ($K = 21$) を越えない範囲の (M, N) の組について式(4)の $Y(x, y)$ 、式(5)の分散 σ^2 、式(2)のAICを計算した。結果を表-2に示す。 $M=N=0$ の場合は、周波数成分を除く以前の $Y(x, y)$ の分散(トレンドからの残差成分の分散)と、このときのパラメータ数 θ を0としたAICを記入している。 x 方向の波の個数 M が y 方向の波の個数 N より多い方が、分散およびAICが小さくなる傾向がある。AICが $(M, N) = (0, 0)$ の場合よりも小さくなっているのは $(M, N) = (3, 1)$ と $(4, 1)$ の組である。この二つのモデルでの分散もそれぞれ0.43と0.33で、他のケースに比べてかなり小さい。以後、AICが最小の $(M, N) = (3, 1)$ のモデルを①、分散が最小の $(M, N) = (4, 1)$ のモデルを②とする。図-4にそれぞれのモデルのスペクトルを示しているが、モデル②の方が①よりもパワーが大きいから変動の大きい推定値が得られている。

$$R(\xi, \eta) = \sum_{m=0, n=0}^{M, N} \left[(\alpha_{mn}^2 + \beta_{mn}^2) \cos(2\pi m \xi / \ell_x + 2\pi n \eta / \ell_y) \right] / \sum_{m=0, n=0}^{M, N} (\alpha_{mn}^2 + \beta_{mn}^2) \quad (6)$$

ここに ξ, η は x および y 方向の2点間距離である。図-5に推定したフーリエ係数をもとに式(6)による $R(\xi, \eta)$ を示している。相関の強さを表わす長さの尺度として図示のように軸と交わる位置を L_x, L_y とすると $L_x = 1.8 \text{ km}, L_y = 2.8 \text{ km}$ が得られ、 y 方向の方が x 方向に比べて相関が高いことが分かる。このことは図-2の $\hat{Y}(x, y)$ の等高線からも理解できる。

4. 結び: 本報では透水量係数の空間分布および統計的特

性を推定するために、透水量係数の対数変換値を2次元確率変数と考え、これをフーリエ級数に展開した。この場合AICによりモデルの決定を行うことを提案したが、今後、予め素性の明らかな確率場をシミュレートし、本報の妥当性を確かめる共に、確率変数の満たすべき2次元確率微分方程式との関係を検討したい。

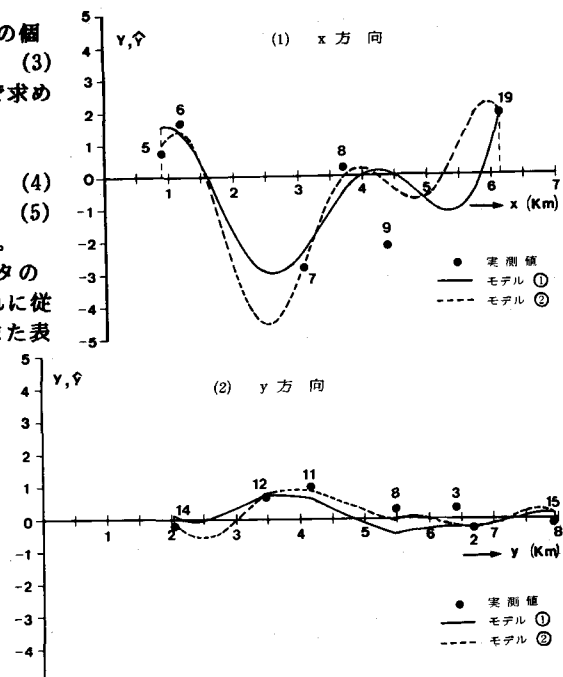


図-3 測定値とモデル①, ②の $\hat{Y}(x, y)$

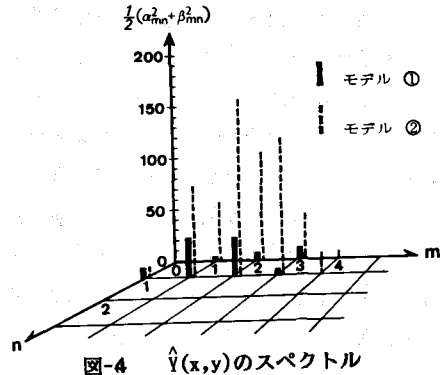


図-4 $\hat{Y}(x, y)$ のスペクトル

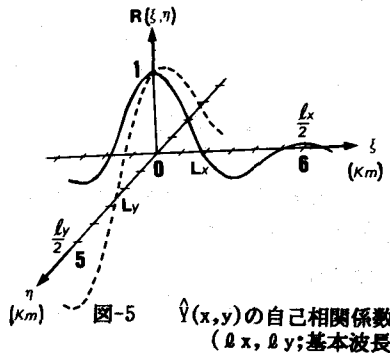


図-5 $\hat{Y}(x, y)$ の自己相関係数
(ℓ_x, ℓ_y ; 基本波長)